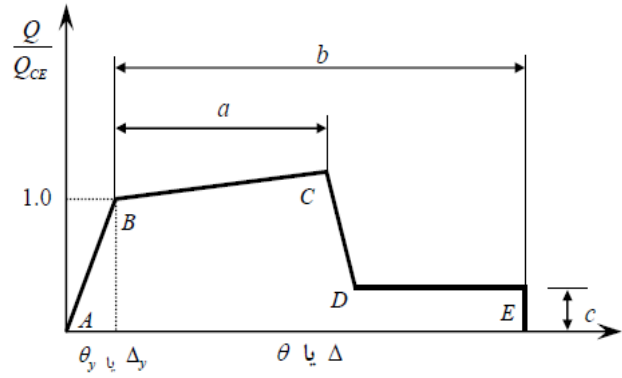


دوره فشرده طراحی عملکردی

سازه‌های فولادی

سازه های فولادی: قاب خمشی

تیر: پارامترها و معیار پذیرش



$$\theta_y = \frac{Z \cdot F_{ye} \cdot L_b}{6EI_b}$$

معیارهای پذیرش					پارامترهای مدل سازی			جزء / تلاش	
زاویه‌ی چرخش خمیری، رادیان				نسبت تنش پس‌ماند	زاویه‌ی چرخش الخمیری، رادیان				
اعضای اصلی ^{۱۴}	اعضای غیراصلی ^{۱۵}	کلیه‌ی اعضا	اعضای اصلی ^{۱۶}		اعضای غیراصلی ^{۱۷}	اعضای اصلی ^{۱۸}	اعضای غیراصلی ^{۱۹}		
CP	LS	CP	LS		IO	c	b	a	
تیرها - در خمش ^{۲۰}									
۱۱θ _y	۹θ _y	۸θ _y	۶θ _y	θ _y	.۶	۱۱θ _y	۹θ _y	$\frac{h}{t_w} \leq 2.45 \sqrt{\frac{E}{F_{ye}}}$, $\frac{b_f}{2t_f} \leq 0.3 \sqrt{\frac{E}{F_{ye}}}$ الف:	
۴θ _y	۳θ _y	۳θ _y	۲θ _y	۰/۲۵θ _y	.۲	۶θ _y	۴θ _y	$3.75 \sqrt{\frac{E}{F_{ye}}} \leq \frac{h}{t_w} \leq 5.7 \sqrt{\frac{E}{F_{ye}}}$ لی $0.38 \sqrt{\frac{E}{F_{ye}}} \leq \frac{b_f}{2t_f} \leq 0.76 \sqrt{\frac{E}{F_{ye}}}$ ب:	

سازه های فولادی: قاب خمشی

ستون: پارامترها و معیار پذیرش

برای $P / P_{CL} \leq 0.2$ موسسه آموزش و تخصصی
آموزندهای تخصصی سازه‌ان و معماری

$11\theta_y$	$9\theta_y$	$8\theta_y$	$6\theta_y$	θ_y	$0/6$	$11\theta_y$	$9\theta_y$	$\frac{h}{t_w} \leq 1.76, \frac{b_f}{2t_f} \leq 0.3 \sqrt{\frac{E}{F_{ye}}}$
--------------	-------------	-------------	-------------	------------	-------	--------------	-------------	--

$4\theta_y$	$3\theta_y$	$3\theta_y$	$2\theta_y$	$0/25\theta_y$	$0/2$	$6\theta_y$	$4\theta_y$	$2.7 \sqrt{\frac{E}{F_{ye}}} \leq \frac{h}{t_w} \leq 4.4 \sqrt{\frac{E}{F_{ye}}} \text{ یا } 0.38 \sqrt{\frac{E}{F_{ye}}} \leq \frac{b_f}{2t_f} \leq 0.76 \sqrt{\frac{E}{F_{ye}}}$
-------------	-------------	-------------	-------------	----------------	-------	-------------	-------------	--

با استفاده از درون‌بایی خطی و کوچک‌ترین مقدار حاصل								$\frac{h}{t_w} \text{ یا } \frac{b_f}{2t_f}$ بین مقادیر داده شده در ردیف الف و ب
--	--	--	--	--	--	--	--	--

رقتار نیروکنترل								$\frac{h}{t_w} \geq 4.4 \sqrt{\frac{E}{F_{ye}}}, \frac{b_f}{2t_f} \geq 0.76 \sqrt{\frac{E}{F_{ye}}}$
-----------------	--	--	--	--	--	--	--	--

								$0.2 < P / P_{CL} \leq 0.50$
--	--	--	--	--	--	--	--	------------------------------

$4-$	$6-$	$2-$	$5-$	$0/25\theta_y$	$0/2$	$4-$	$2-$	$\frac{h}{t_w} \leq 1.52 \sqrt{\frac{E}{F_{ye}}}, \frac{b_f}{2t_f} \leq 0.3 \sqrt{\frac{E}{F_{ye}}}$
------	------	------	------	----------------	-------	------	------	--

$1/2\theta_y$	$1/2\theta_y$	$0/8\theta_y$	$0/5\theta_y$	$0/25\theta_y$	$0/2$	$1/5\theta_y$	θ_y	$2.34 \sqrt{\frac{E}{F_{ye}}} \leq \frac{h}{t_w} \leq 3.8 \sqrt{\frac{E}{F_{ye}}} \text{ یا } 0.38 \sqrt{\frac{E}{F_{ye}}} \leq \frac{b_f}{2t_f} \leq 0.76 \sqrt{\frac{E}{F_{ye}}}$
---------------	---------------	---------------	---------------	----------------	-------	---------------	------------	---

با استفاده از درون‌بایی خطی و کوچک‌ترین مقدار حاصل								$\frac{h}{t_w} \text{ یا } \frac{b_f}{2t_f}$ بین مقادیر داده شده در ردیف الف و ب
--	--	--	--	--	--	--	--	--

رقتار نیروکنترل								$\frac{h}{t_w} \geq 3.8 \sqrt{\frac{E}{F_{ye}}}, \frac{b_f}{2t_f} \geq 0.76 \sqrt{\frac{E}{F_{ye}}}$
-----------------	--	--	--	--	--	--	--	--

برای $P / P_{CL} \leq 0.2$ ۸۰۸ موسسه آموزش و تحقیق
آموزندهای تخصصی عمران و معماری

$11\theta_y$	$9\theta_y$	$8\theta_y$	$6\theta_y$	θ_y	$0/6$	$11\theta_y$	$9\theta_y$	$\frac{h}{t_w} \leq 1.76, \frac{b_f}{2t_f} \leq 0.3 \sqrt{\frac{E}{F_{ye}}}$
--------------	-------------	-------------	-------------	------------	-------	--------------	-------------	--

$4\theta_y$	$3\theta_y$	$3\theta_y$	$2\theta_y$	$0/25\theta_y$	$0/2$	$6\theta_y$	$4\theta_y$	$2.7 \sqrt{\frac{E}{F_{ye}}} \leq \frac{h}{t_w} \leq 4.4 \sqrt{\frac{E}{F_{ye}}} \text{ یا } 0.38 \sqrt{\frac{E}{F_{ye}}} \leq \frac{b_f}{2t_f} \leq 0.76 \sqrt{\frac{E}{F_{ye}}}$
-------------	-------------	-------------	-------------	----------------	-------	-------------	-------------	--

$\theta_y = \frac{Z \cdot F_{ye} \cdot L_c}{6EI_c} \left(1 - \frac{P}{P_{ye}} \right)$	با استفاده از	$\frac{h}{t_w} \text{ یا } \frac{b_f}{2t_f}$ بین مقادیر داده شده در ردیف الف و ب
---	---------------	--

برای $0.2 < P / P_{CL} \leq 0.50$

$4-$	$6-$	$2-$	$5-$	$0/25\theta_y$	$0/2$	$4-$	$2-$	$\frac{h}{t_w} \leq 1.52 \sqrt{\frac{E}{F_{ye}}}, \frac{b_f}{2t_f} \leq 0.3 \sqrt{\frac{E}{F_{ye}}}$
------	------	------	------	----------------	-------	------	------	--

$1/2\theta_y$	$1/2\theta_y$	$0/8\theta_y$	$0/5\theta_y$	$0/25\theta_y$	$0/2$	$1/5\theta_y$	θ_y	$2.34 \sqrt{\frac{E}{F_{ye}}} \leq \frac{h}{t_w} \leq 3.8 \sqrt{\frac{E}{F_{ye}}} \text{ یا } 0.38 \sqrt{\frac{E}{F_{ye}}} \leq \frac{b_f}{2t_f} \leq 0.76 \sqrt{\frac{E}{F_{ye}}}$
---------------	---------------	---------------	---------------	----------------	-------	---------------	------------	---

با استفاده از درون‌بایی خطی و کوچک‌ترین مقدار حاصل	$\frac{h}{t_w} \text{ یا } \frac{b_f}{2t_f}$ بین مقادیر داده شده در ردیف الف و ب
--	--

رفتار نیروکنترل

 $\frac{h}{t_w} \geq 3.8 \sqrt{\frac{E}{F_{ye}}}, \frac{b_f}{2t_f} \geq 0.76 \sqrt{\frac{E}{F_{ye}}}$

برای $P_{CL} \leq 0.2$

$$\frac{h}{t_w} \leq 0.3 \sqrt{\frac{E}{F_{ye}}} \quad \text{الف:}$$

$$\frac{h}{t_w} \leq \frac{b_f}{2t_f} \leq 0.76 \sqrt{\frac{E}{F_{ye}}} \quad \text{ب:}$$

$$\frac{h}{t_w} \text{ یا } \frac{b_f}{2t_f} \quad \text{پ: مقادیر}$$

$$\geq 0.76 \sqrt{\frac{E}{F_{ye}}} \quad \text{ت:}$$

برای $P_{CL} \leq 0.50$ آموزشگاه تخصصی عمارت و معماری
آموزندهای تخصصی عمارت و معماری

۸۰۸ موسسه آموزش و پژوهشی

$11\theta_y$	$9\theta_y$	$8\theta_y$	$6\theta_y$	θ_y
$4\theta_y$	$3\theta_y$	$3\theta_y$	$2\theta_y$	$0.25\theta_y$

$$\theta_y = \frac{Z \cdot F_{ye} \cdot L_c}{6EI_c} \left(1 - \frac{P}{P_{ye}} \right)$$

$$11(1 - 1.7 P/P_{CL})\theta_y$$

$$17(1 - 1.7 P/P_{CL})\theta_y$$

$$8(1 - 1.7 P/P_{CL})\theta_y$$

$$14(1 - 1.7 P/P_{CL})\theta_y$$

$4___$	$6___$	$2___$	$5___$	$0.25\theta_y$	0.2	$4___$	$2___$	$\frac{h}{t_w} \leq 1.52 \sqrt{\frac{E}{F_{ye}}}, \frac{b_f}{2t_f} \leq 0.3 \sqrt{\frac{E}{F_{ye}}}$
$1/2\theta_y$	$1/2\theta_y$	$0.8\theta_y$	$0.5\theta_y$	$0.25\theta_y$	0.2	$1/5\theta_y$	θ_y	$2.34 \sqrt{\frac{E}{F_{ye}}} \leq \frac{h}{t_w} \leq 3.8 \sqrt{\frac{E}{F_{ye}}} \text{ یا } 0.38 \sqrt{\frac{E}{F_{ye}}} \leq \frac{b_f}{2t_f} \leq 0.76 \sqrt{\frac{E}{F_{ye}}}$

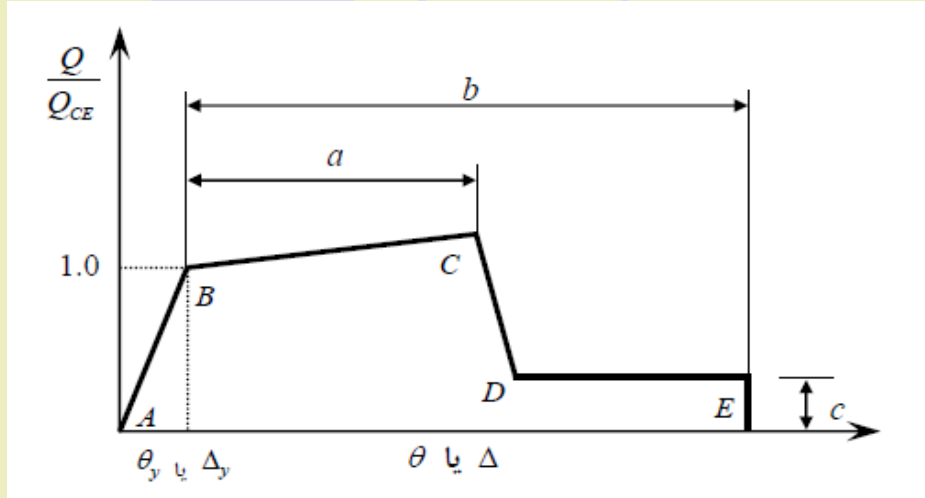
با استفاده از درون‌بابی خطی و کوچک‌ترین مقدار حاصل

$$\frac{h}{t_w} \text{ یا } \frac{b_f}{2t_f} \quad \text{پ: مقادیر داده شده در ردیف الف و ب}$$

رفتار نیروکنترل

$$\frac{h}{t_w} \geq 3.8 \sqrt{\frac{E}{F_{ye}}}, \frac{b_f}{2t_f} \geq 0.76 \sqrt{\frac{E}{F_{ye}}} \quad \text{ت:}$$

مقاومت خمشی مدل



تیر

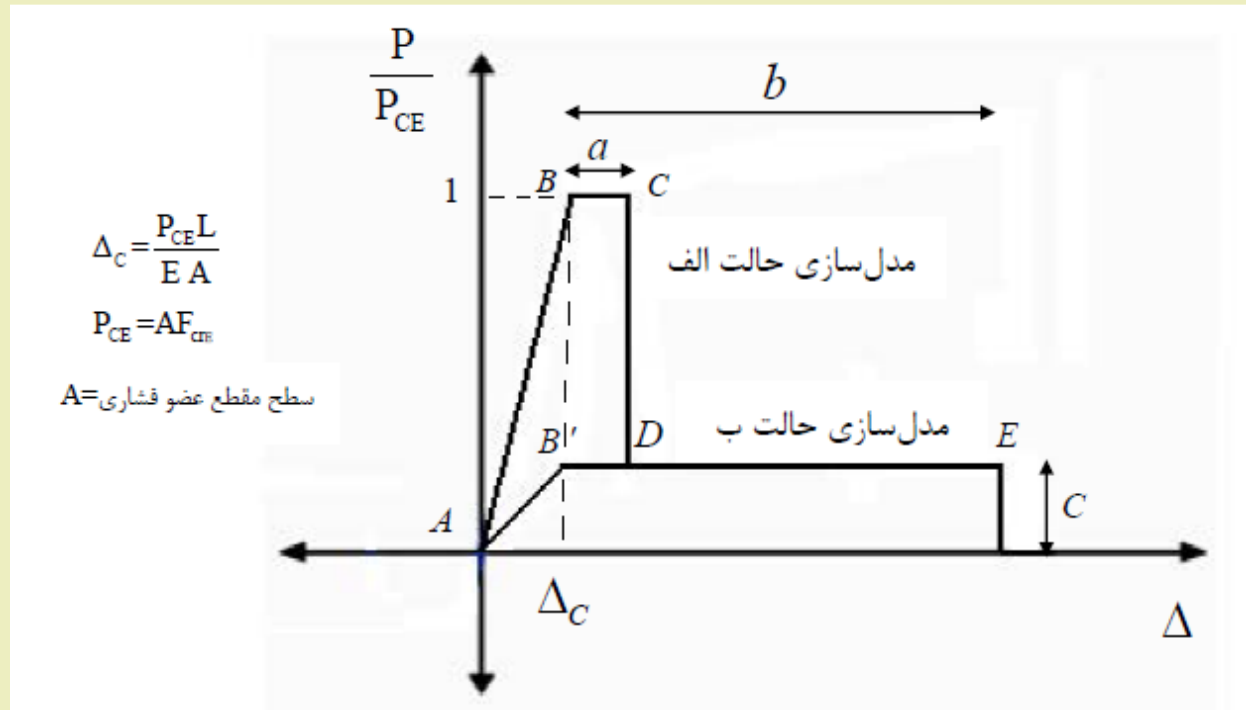
$$Q_{CE} = M_{CE} = ZF_{y_e}$$

ستون

$$Q_{CE} = M_{CE} = 1.18 ZF_{y_e} \left[1 - \frac{P}{P_{y_e}} \right] \leq ZF_{y_e}$$

شیب BC برابر ۳٪ بخش ارتقایی

قاب با مهاربند همگرا



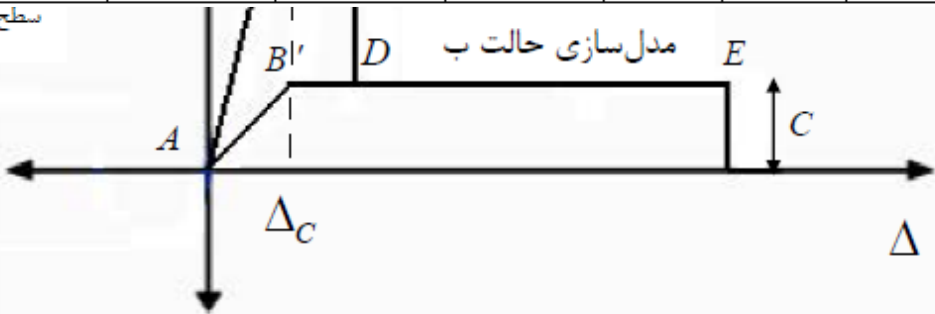
$$\Delta_t = \frac{F_{ye} \cdot L}{E}$$

$$\Delta_c = \frac{P_{CE} \cdot L}{EA}$$



تغییر‌شکل خمیری					نسبت تنش پس‌ماند	تغییر‌شکل خمیری		جزء / تلاش
اعضای غیراصلی		اعضای اصلی ^۶		کلیه‌ی اعضا		تغییر‌شکل خمیری		
CP	LS	CP	LS	IO	c	b	a	
$\nabla \Delta_T$	$\varepsilon \Delta_T$	$\delta \Delta_T$	$\gamma \Delta_T$	$0.25 \Delta_T$	$1/0$	$\nabla \Delta_T$	$\delta \Delta_T$	تیرها و ستون‌ها در کشش (به استثنای تیر و ستون‌های قاب با مهاربندی واگرا)
مهاربند فشاری (به استثنای مهاربند‌های واگرا)								$\frac{Kl}{r} \geq 4.2 \sqrt{\frac{E}{F_{ye}}}$ برای
$1/0 \cdot \Delta_C$	$1/0 \cdot \Delta_C$	$1/0 \cdot \Delta_C$	$1/0 \cdot \Delta_C$	$0.25 \Delta_C$	$0/3$	$1/0 \Delta_C$	$0/5 \Delta_C$	الف : زوج نشی و زوج ناوادانی کمانش داخل صفحه ^۷
$0/0 \cdot \Delta_C$	$0/0 \cdot \Delta_C$	$0/0 \cdot \Delta_C$	$0/0 \cdot \Delta_C$	$0.25 \Delta_C$	$0/3$	$0/0 \Delta_C$	$0/5 \Delta_C$	ب : زوج نشی و زوج ناوادانی کمانش خارج صفحه ^۷
$1/0 \cdot \Delta_C$	$1/0 \cdot \Delta_C$	$1/0 \cdot \Delta_C$	$1/0 \cdot \Delta_C$	$0.25 \Delta_C$	$0/3$	$1/0 \Delta_C$	$0/5 \Delta_C$	پ : مقطع I یا Z
$0/0 \cdot \Delta_C$	$0/0 \cdot \Delta_C$	$0/0 \cdot \Delta_C$	$0/0 \cdot \Delta_C$	$0.25 \Delta_C$	$0/3$	$0/0 \Delta_C$	$0/5 \Delta_C$	ت : مقطع قوطی و مقاطع لولای شکل

A = سطح مقطع عضو قشاری



$$\Delta_C = \frac{CE}{EA}$$



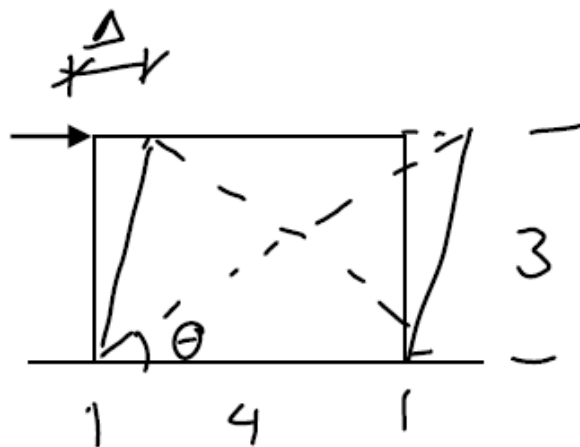
معیارهای پذیرش					پارامترهای مدل سازی ^{۲۹۱}			جزء / تلاش	
تغییر شکل خمیری					نسبت تنش پس ماند	تغییر شکل خمیری			
اعضای غیر اصلی	اعضای اصلی ^۶		کلیه ای اعضا						
CP	LS	CP	LS	IO	c	b	a		
$\gamma \Delta_T$	$\epsilon \Delta_T$	$5 \Delta_T$	$3 \Delta_T$	$.25 \Delta_T$	$1/0$	$\gamma \Delta_T$	$5 \Delta_T$	تیرها و ستون ها در کشش (به استثنای تیر و ستون های قاب با مهاربندی واگرایی)	
$\overset{\circ}{\Delta}$ مهاربند فشاری (به استثنای مهاربند های واگرایی)									
								$\frac{Kl}{r} \geq 4.2 \sqrt{\frac{E}{F_{ye}}}$ برای	
$1/0 \Delta_C$	$8/0 \Delta_C$	$8/0 \Delta_C$	$6/0 \Delta_C$	$.25 \Delta_C$	$0/3$	$10 \Delta_C$	$0/5 \Delta_C$	الف : زوج نبشی و زوج ناوданی کمانش داخل صفحه ^۳	
$9/0 \Delta_C$	$7/0 \Delta_C$	$7/0 \Delta_C$	$5/0 \Delta_C$	$.25 \Delta_C$	$0/3$	$9 \Delta_C$	$0/5 \Delta_C$	ب : زوج نبشی و زوج ناوданی کمانش خارج صفحه ^۳	
$1/0 \Delta_C$	$8/0 \Delta_C$	$8/0 \Delta_C$	$6/0 \Delta_C$	$.25 \Delta_C$	$0/3$	$10 \Delta_C$	$0/5 \Delta_C$	پ : مقطع Z یا I	
								$\frac{Kl}{r} \leq 2.1 \sqrt{\frac{E}{F_{ye}}}$ برای	
$8 \Delta_C$	$\gamma \Delta_C$	$\gamma \Delta_C$	$5 \Delta_C$	$.25 \Delta_C$	$0/5$	$8 \Delta_C$	$1/0 \Delta_C$	الف : زوج نبشی و زوج ناوданی کمانش داخل صفحه ^۳	
$\gamma \Delta_C$	$\epsilon \Delta_C$	$\epsilon \Delta_C$	$4 \Delta_C$	$.25 \Delta_C$	$0/5$	$\gamma \Delta_C$	$1/0 \Delta_C$	ب : زوج نبشی و زوج ناوданی کمانش خارج صفحه ^۳	
$8 \Delta_C$	$\gamma \Delta_C$	$\gamma \Delta_C$	$5 \Delta_C$	$.25 \Delta_C$	$0/5$	$8 \Delta_C$	$1/0 \Delta_C$	پ : مقطع Z یا I	
$\gamma \Delta_C$	$\epsilon \Delta_C$	$\epsilon \Delta_C$	$4 \Delta_C$	$.25 \Delta_C$	$0/5$	$\gamma \Delta_C$	$1/0 \Delta_C$	ج : مقطع قوطی و مقاطع لوله ای شکل	
با استفاده از درون یابی خطی بین مقادیر داده شده برای مهاربند های لاغر و قوی محاسبه می شود.								برای $2.1 \sqrt{\frac{E}{F_{ye}}} < \frac{Kl}{r} < 4.2 \sqrt{\frac{E}{F_{ye}}}$	
$13 \Delta_T$	$11 \Delta_T$	$9 \Delta_T$	$\gamma \Delta_T$	$.25 \Delta_T$	$0/8$	$14 \Delta_T$	$11 \Delta_T$	مهاربند کششی (به استثنای مهاربندی های واگرایی) ^{۲۹۲} دوره جامع آموزش اصول محاسبات، بهسازی عملکردی سازه ها - اسفندماه ۱۳۹۷، مدرس: پروفسور حسن مقدم	

- چرا نشریه برای مهاربند فشاری حالت نرم (کنترل شونده توسط تغییر مکان) در نظر گرفته است؟
- شفاهای برای دانشجویان تشریح شد.

تمرین

۲۱۶ تمرین

کرنش بادبندهای کششی و فشاری قاب زیر را در گریز ۰.۱٪ محاسبه نموده و با کرنش تسلیم و کمانش مقایسه کنید. بادبندها به صورت زوج ناوданی شماره ۲۰ میباشند و طوری قرار گرفته اند که کمانش خارج از صفحه حول محور X انجام میشود.



$$\theta = \tan^{-1} \frac{3}{4} = 37^\circ$$

حل. با استفاده از رابطه فوق داریم

$$\frac{\delta d}{d} = \frac{1}{r} \sin(\alpha \sqrt{r}) \cdot \frac{\Delta}{h} = 0,0481$$

کنش تسلیم بادبند برابر است با

$$\frac{\Delta_t}{L} = \frac{F_e}{E} = \frac{\epsilon_e}{\epsilon_y} = 1,1 \times 10^{-7} = 0,0133$$

$$\therefore \frac{\delta d/d}{\Delta_t / L} = \frac{0,0481}{0,0133} = 3,64$$

ملاحظه می‌شود که در گریز ۱٪ بادبند کششی به اندازه ۳/۶ برابر حد تسلیم کشیده شده است. برای بادبند فشاری داریم

$$\lambda = \frac{kl}{r} = \frac{177 \times 50}{77\sqrt{}} = 43,8$$

برای این ضریب لاغری از جدول ممم تنش فشاری مجاز F_{as} برابر ۱۱۹۶ ک/سم بدست می‌آید و

$$\epsilon_c = \frac{\Delta_c}{L} = \frac{17\sqrt{F_{as}}}{44 \times 1.7} = \frac{17 \times 1196}{44 \times 1.7} = 1017$$

$$\frac{100 - 481}{1017} = 4,7$$

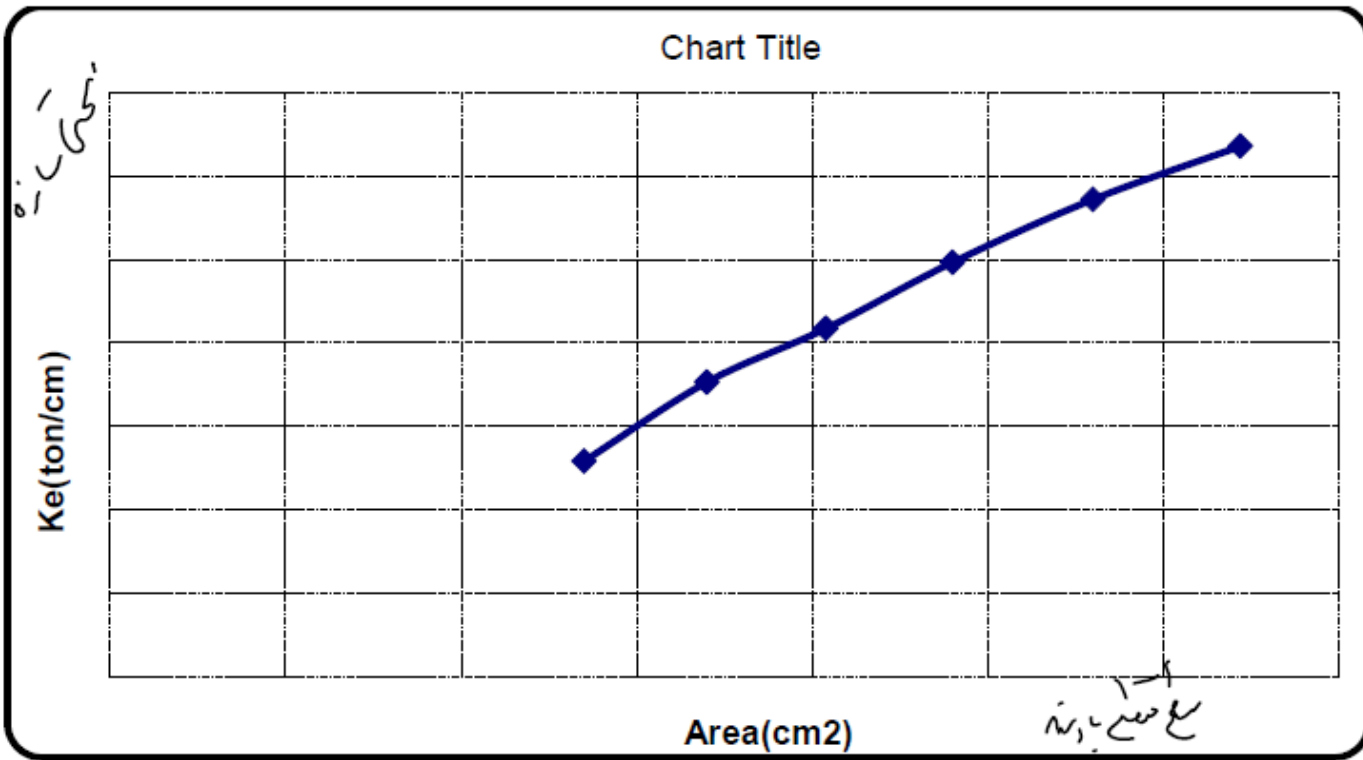
ملاحظه می‌شود که کرنش بادبند فشاری در گریز ۱٪ مساوی ۴/۷۳ برابر کرنش کمانش شده است در حالی که کرنش بادبند کششی در همین گریز ۳/۶۴ برابر کرنش تسلیم می‌باشد. این نشان میدهد که وضع بادبند فشاری وخیم‌تر است. با در نظر گرفتن ضوابط نشریه ۳۶۰ که حد پذیرش را برای بادبند کششی ۷ برابر کرنش تسلیم، و برای بادبند فشاری ۴ برابر کرنش کمانش در نظر گرفته است و خامت وضعیت بادبند فشاری دو چندان می‌شود. از این رو، در طراحی عملکردی بادبند ضربدری، معمولاً بادبند فشاری خیلی قبل از بادبند کششی به آستانه فروریزی میرسد.

ملاحظه میشود که کرنش بادبند فشاری در گریز ۱٪ مساوی $4/73$ برابر کرنش کمانش شده است در حالی که کرنش بادبند کششی در همین گریز $3/64$ برابر کرنش تسلیم میباشد. این نشان میدهد که وضع بادبند فشاری وخیم تر است. با در نظر گرفتن ضوابط نشریه ۳۶۰ که حد پذیرش را برای بادبند کششی ۷ برابر کرنش تسلیم، و برای بادبند فشاری ۴ برابر کرنش کمانش در نظر گرفته است و خامت وضعیت بادبند فشاری دو چندان میشود. از این رو، در طراحی عملکردی بادبند ضربدری، معمولاً بادبند فشاری خیلی قبل از بادبند کششی به آستانه فروریزی میرسد.

تأثیر افزایش سطح مقطع بادبند

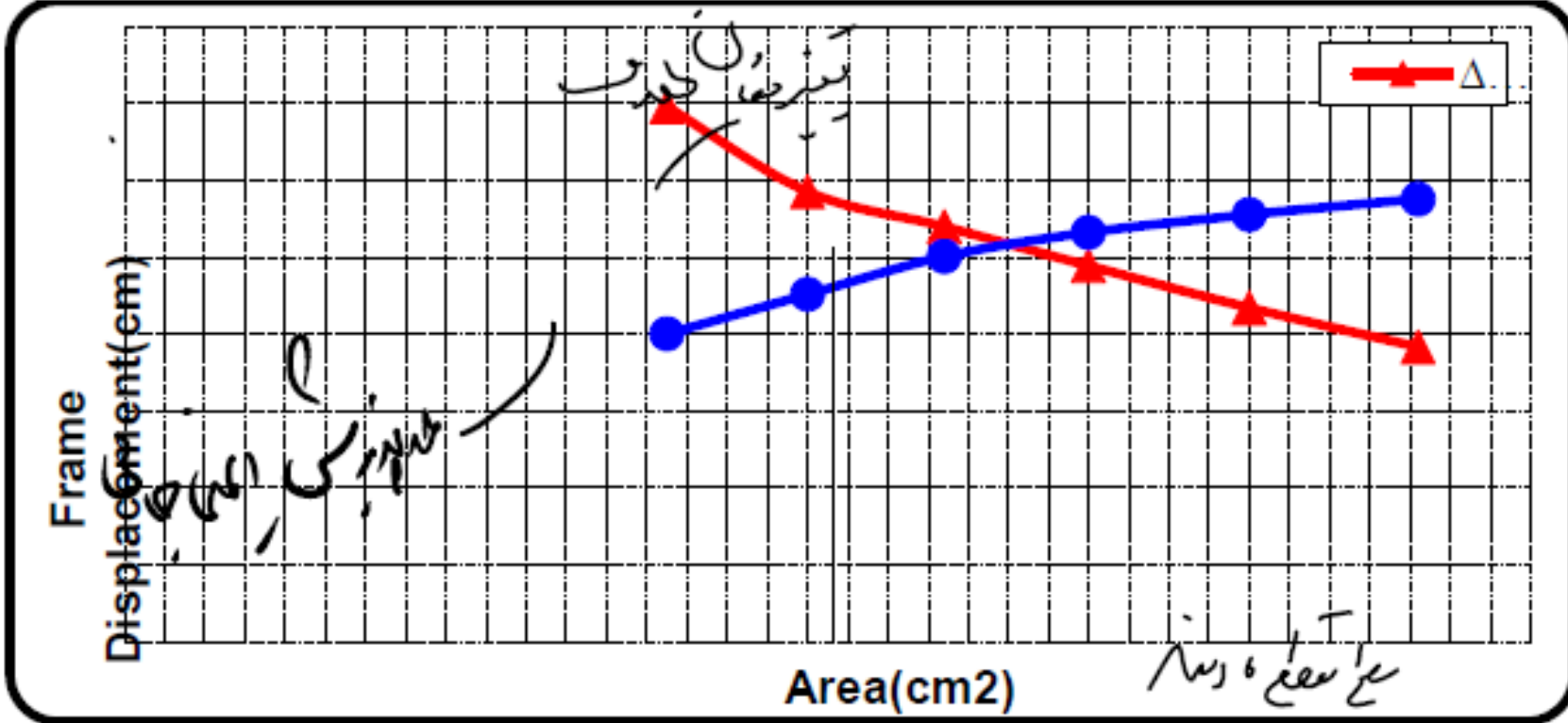
- برای بهبود عملکرد سازه میتوان تعداد دهانه های بادبندی و یا سطح مقطع بادبند در هر دهانه را افزایش داد.
- با افزایش سطح مقطع بادبند سختی سازه بطور خطی افزایش یافته و تغییر مکان هدف تقریبا بطور خطی کاهش می یابد
- حدود پذیرش تقریبا ثابت میمانند

تأثیر افزایش سطح مقطع بادبند



تأثیر سطح مقطع بادبند بر سختی

تأثیر افزایش سطح مقطع بادبند

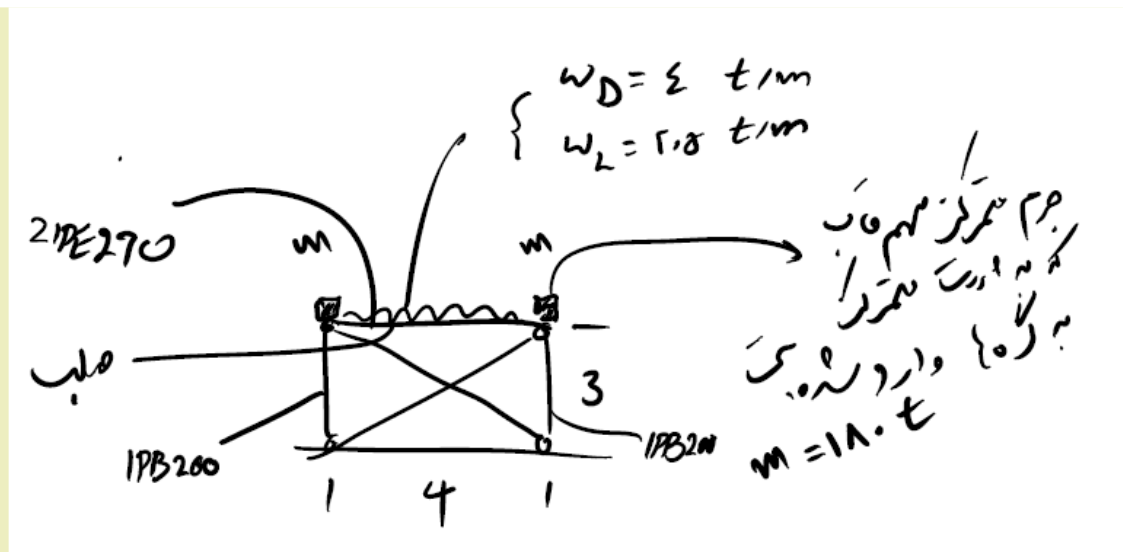


تأثیر سطح مقطع بادبند بر تغییر مکان هدف

۲۱۷

تغییر مکان هدف و تغییر مکان نظری حد پذیرش را در قاب فولادی زیر اثر زلزله داده شده تعیین کنید.
بادبندها به صورت متغیر از نیمرخهای زیر انتخاب شده اند:

- 1) 2UNP100
- 2) 2UNP140
- 3) 2UNP160
- 4) 2UNP180
- 5) 2UNP200

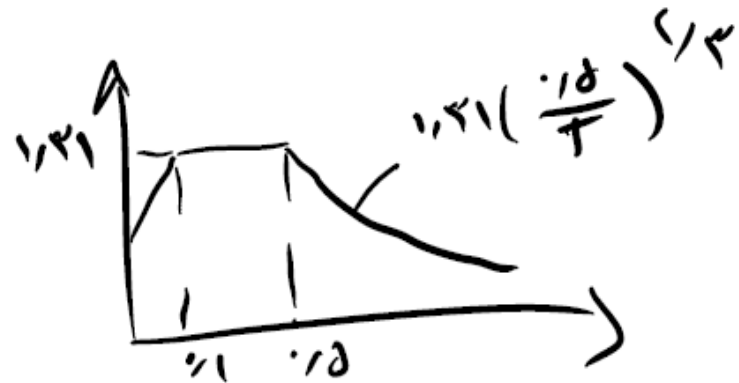


زلزله سطح خطر یک طبق طیف طرح آیین نامه ۲۸۰۰، و سطح دو ۱/۵ برابر آن میباشد. با توجه به نوع خاک و لرزه خیزی منطقه (تهران) طیفهای زیر بدست می آید.

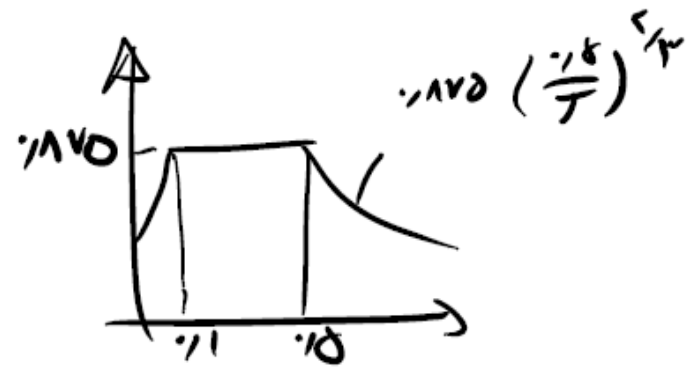
$$A = 0.8\delta$$

$$B = S+I = 1.8$$

$$S_a = AB = 1.8 \times 0.8 = 1.44\delta$$



طیف زلزله سطح ۲



طیف زلزله سطح ۱

حل

به جزوه رک / ص ۶۸

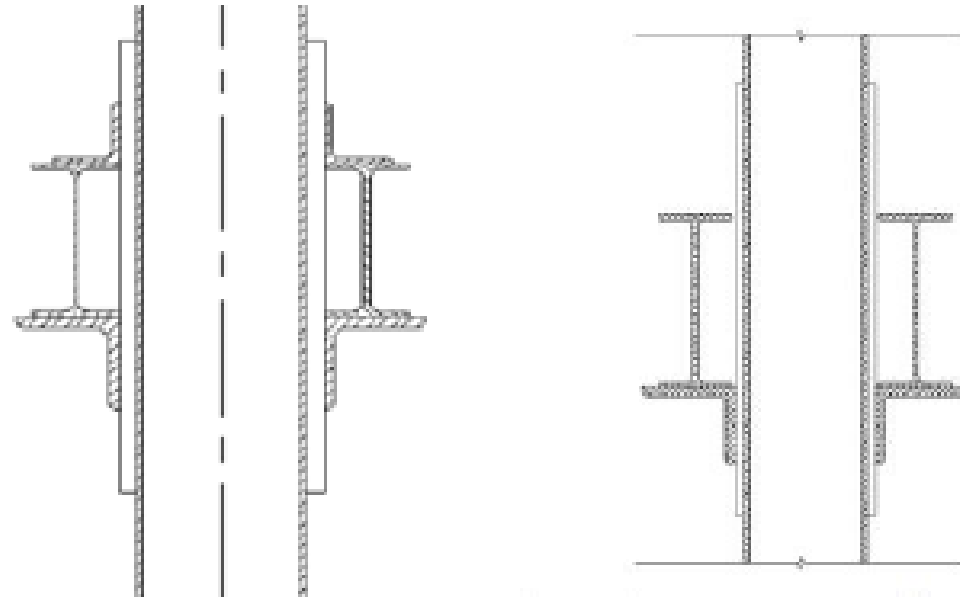
فاب با اتصال خرجینی

- نشريه ۳۶۰ اتصال خرجینی را به گروههای زیر تقسیم میکند:
 - ۱. اتصال خرجینی سنتی با نبشی پایین
 - ۲. اتصال خرجینی سنتی با نبشی بالا و پایین
 - ۳. اتصال خرجینی جدید

قاب با اتصال خرجینی

۱. زیر تقسیم

یین



اتصالات خرجینی سنتی

نشری

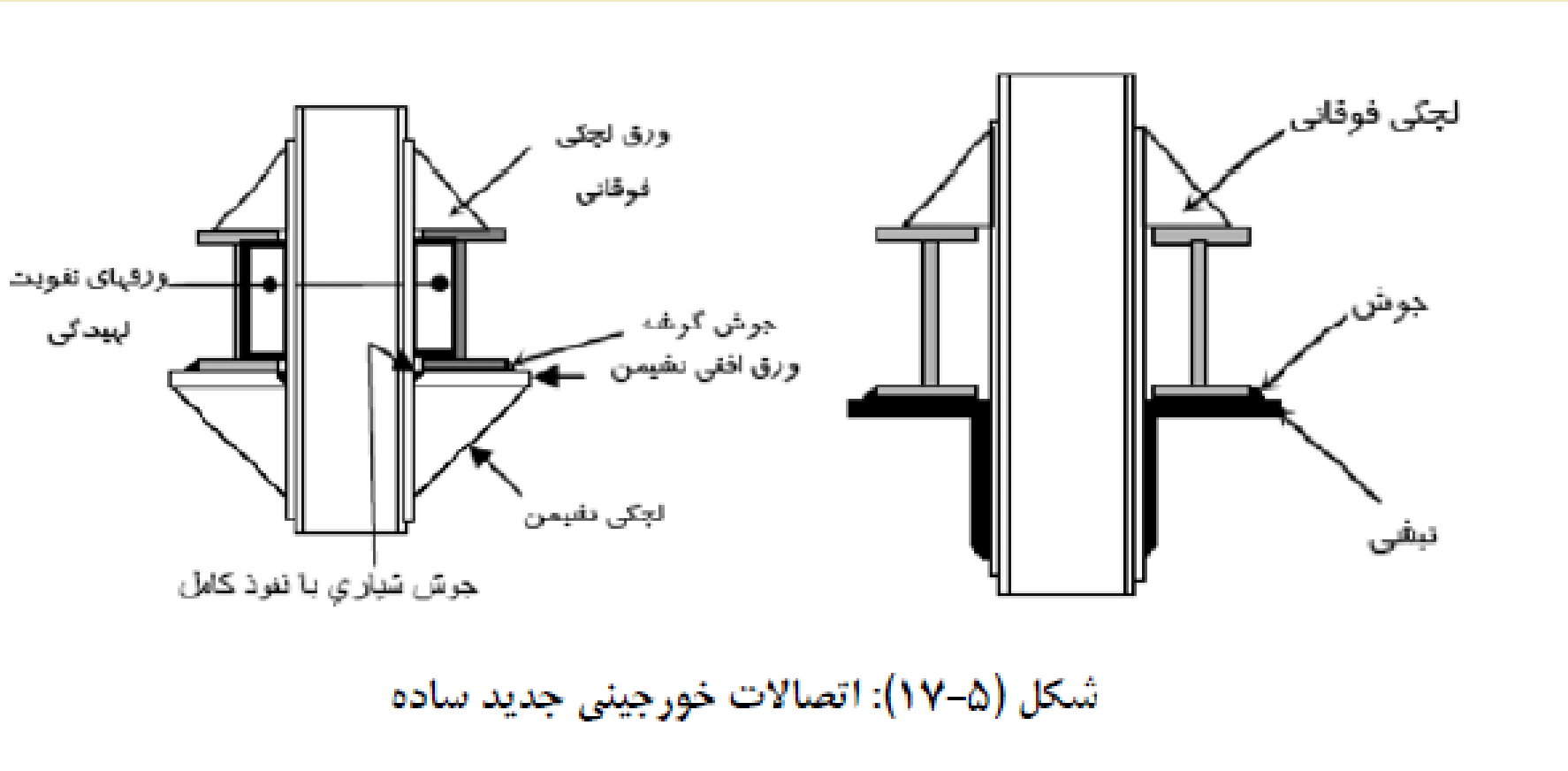
میکند

۱. اتص

۲. اتص

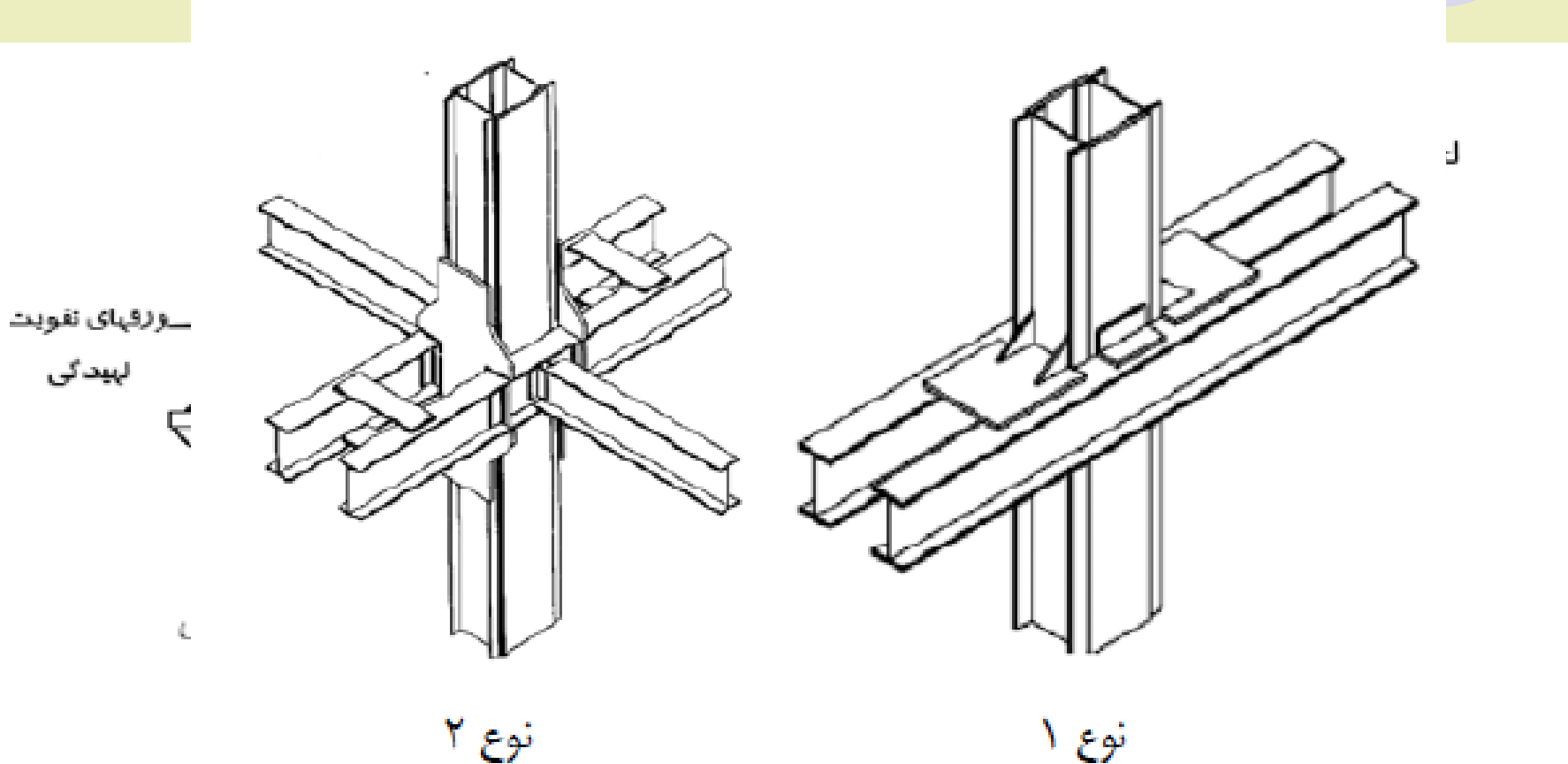
۳. اتص

قاب با اتصال خرچینی



شکل (۱۷-۵): اتصالات خورچینی جدید ساده

قاب با اتصال خرچینی



شکل (۱۸-۵): اتصالات خورجینی جدید خمثی

اتصال خرجینی

در مورد اتصال خرجینی برخی از نکات نیاز به توضیح دارد:

- نقش نبشی فوقانی در اتصال سنتی
- تفاوت عملکرد لرزه‌ای دو نوع اتصال سنتی
- فرق بین دو نوع اتصال ساده جدید
- تفاوت بین دو نوع اتصال گیردار جدید
- تفاوت عملکرد لرزه‌ای اتصالات سنتی و جدید
- نحوه مدلسازی اتصالات سنتی و جدید
- شیوه‌های مقاوم سازی اتصالات سنتی